

## 円石藻の栄養成分強化に関する研究

助成研究者：渡辺文雄（高知女子大学 生活科学部健康栄養学科）  
 共同研究者：宮本恵美（高知女子大学 生活科学部健康栄養学科）

円石藻 (*Pleurochrysis carterae*; 旧名 *Hymenomonas carterae*) 細胞は人工消化率が97%と極めて消化されやすく、食用としての安全性も確立している。現在、*P. carterae* の外皮に多量に固定されている炭酸カルシウムはヒトのカルシウム補助食品として商品化されている。栄養補助食品として利用されている乾燥 *P. carterae* 細胞には多量のビタミンB<sub>12</sub> (B<sub>12</sub>あるいはCN-B<sub>12</sub>) が含まれており、B<sub>12</sub>欠乏ラットを用いた実験から *P. carterae* 細胞に蓄積されたB<sub>12</sub>は高等動物にとって生理的に有効であり、ヒトのフードサプリメントとしてカルシウムと同様にB<sub>12</sub>のよい供給源として利用できることが明らかとなった。*P. carterae* はB<sub>12</sub>を生育必須因子として要求することが知られているが、B<sub>12</sub>の取り込み系や代謝系に関する知見はない。本研究では *P. carterae* のB<sub>12</sub>要求性と生理機能について検討した。

これまで我々の研究で使用した *P. carterae* はB<sub>12</sub>に対してレスポンスが低いようであったのでB<sub>12</sub>除去人工海水を用いてできるだけ細胞内B<sub>12</sub>含有量を減少させた *P. carterae* 細胞で検討した。その結果、B<sub>12</sub>無添加の培地では *P. carterae* の生育がB<sub>12</sub>添加細胞 (10 µg/L)に比べ顕著に減少した。また、生育9日目の定常期におけるB<sub>12</sub>添加 (2および10 µg/L) *P. carterae* の細胞数はB<sub>12</sub>無添加細胞の約3倍であった。この結果からこれまで我々の研究で使用した *P. carterae* もB<sub>12</sub>を生育必須因子として要求することが明らかとなった。B<sub>12</sub>添加 (2および10 µg/L) *P. carterae* の細胞内B<sub>12</sub>含有量はB<sub>12</sub>無添加細胞の約3倍量となり、上述の結果とよく一致していた。

*P. carterae* の細胞内に蓄積されたB<sub>12</sub>が補酵素型B<sub>12</sub>に変換されているかどうかを検討するために、C18逆相HPLCを用いて補酵素型B<sub>12</sub>の分離・定量を行った。その結果、OH-B<sub>12</sub>(20.1%), CN-B<sub>12</sub>(7.8%), AdoB<sub>12</sub>(26.0%), MeB<sub>12</sub>(46.1%)となり、培地中に添加されたB<sub>12</sub>の約72%が細胞内に取込まれた後、補酵素型B<sub>12</sub>に変換されていた。これらの結果は、*P. carterae* の細胞内には補酵素型B<sub>12</sub>の合成系が存在しており、B<sub>12</sub>は生体内で補酵素として機能していることを示唆している。

*P. carterae*におけるB<sub>12</sub>の生理機能を検討するために、広く生物界に分布する3種のB<sub>12</sub>依存性酵素活性を測定した。その結果、AdoB<sub>12</sub>依存性酵素としてリボヌクレオチドレダクターゼ活性は検出されなかつたが、メチルマロニルCoAムターゼ活性 (2.6±0.4 nmol/min/mg protein) が検出された。また、MeB<sub>12</sub>依存性酵素としてメチオニンシンターゼ活性 (85.1±38.9 pmol/min/mg protein) も検出され、*P. carterae* の細胞内に存在するAdoB<sub>12</sub>とMeB<sub>12</sub>はそれぞれメチルマロニルCoAムターゼとメチオニンシンターゼの補酵素として機能していることが明らかとなった。



## 36

助成番号 0136

## 円石藻の栄養成分強化に関する研究

助成研究者：渡辺文雄（高知女子大学 生活科学部健康栄養学科）

共同研究者：宮本恵美（高知女子大学 生活科学部健康栄養学科）

## 1. 研究目的

円石藻は海水中のカルシウムを取込み細胞を覆う外皮に炭酸カルシウムを固定する<sup>1)</sup>。細胞の死後、炭酸カルシウムの外皮は海底に沈み石灰岩となって二酸化炭素を半永久的に固定する。二酸化炭素増加による地球温暖化問題の観点から円石藻は多くの研究者の注目を集めている。

また、円石藻 (*Pleurochrysis carterae*; 旧名 *Hymenomonas carterae*) 細胞は人工消化率が 97%と極めて消化されやすく、食用としての安全性も確立している<sup>2)</sup>。現在、*P. carterae* の外皮に多量に固定されている炭酸カルシウムはヒトのカルシウム補助食品として商品化されている。栄養補助食品として利用されている乾燥 *P. carterae* 細胞には多量のビタミンB<sub>12</sub> (B<sub>12</sub>あるいはCN - B<sub>12</sub>) が含まれており、B<sub>12</sub>欠乏ラットを用いた実験から *P. carterae* 細胞に蓄積されたB<sub>12</sub>は高等動物にとって生理的に有効であり、ヒトのフードサプリメントとしてカルシウムと同様にB<sub>12</sub>のよい供給源として利用できることが明らかとなつた<sup>3)</sup>。

*P. carterae* はB<sub>12</sub>を生育必須因子として要求することが知られているが<sup>4)</sup>、B<sub>12</sub>の取込み系や代謝系に関する知見はない。本研究では *P. carterae* のB<sub>12</sub>要求性と生理機能について検討した。

## 2. 研究方法

## 2.1. 実験生物と培養条件

円石藻 *P. carterae* は、500 mL容平板培養ビンを用いて 500 mL の Eppley 培地 (0.2 μg/L B<sub>12</sub>を含む) で 22°C、光照射下 (40 μmol photon/m<sup>2</sup>/s) で空気を通気して培養した<sup>2)</sup>。Eppley 培地は市販の人工海水 (SWING Hi-Marine, Hipet) を用いて調製した。

2.2. B<sub>12</sub>添加培養実験

C18 カートリッジ (Sep-Pak Vac 20 cc, Waters 社製) を用いて人工海水中に存在するB<sub>12</sub>を除去したB<sub>12</sub>除去人工海水で培地を調製し実験に用いた。*P. carterae* は細胞内に蓄積されているB<sub>12</sub>をできるだけ減少させるためにB<sub>12</sub>無添加の Eppley 培地で前培養した細胞を用いた。

500 mL のB<sub>12</sub>無添加 Eppley 培地に 0.2~10 μg/L になるようにB<sub>12</sub>を添加し、上述の

前培養液 1.0 mL を無菌的に植え継ぎ定常期（9 日間）まで通気培養した。

*P. carterae* の細胞増殖度は、培養液を 2.0 mL サンプリングし血球盤を用いて細胞を測定した。培養 9 日目で定常期に達した培養液を 3000 g 10 分間の遠心分離することで細胞を集めめた。集めた細胞は B<sub>12</sub>除去人工海水で洗浄した後、-80°Cで貯蔵した。

### 2.3 B<sub>12</sub>の抽出法と定量法

*P. carterae* 細胞から B<sub>12</sub>の抽出は KCN 法を用いて行った。凍結貯蔵した細胞（湿重量 0.3 g）を 20 mg/L の KCN を含む 0.1 M 酢酸緩衝液 (pH 5.0) 10 mL に懸濁後、超音波破碎機で細胞を破碎した。この細胞破碎液をドラフト内沸騰浴中で 30 分間加熱抽出した。室温まで冷却後、5000 g 10 分間の遠心分離上清液を回収し B<sub>12</sub>抽出液として B<sub>12</sub>の定量に用いた。B<sub>12</sub> の定量は、*Lactobacillus delbrueckii* (旧名 *L. leichmannii*) ATCC7830 による微生物学的定量法で行った<sup>5)</sup>。

### 2.4. 高速液体クロマトグラフィー (HPLC) による補酵素型 B<sub>12</sub>の分析

*P. carterae* 細胞から補酵素型 B<sub>12</sub> の抽出は 80%エタノール法を用いて行い、Wakosil 5C18RS-II (4.6 x 150 mm)カラムによる HPLC 分析を行った。HPLC カラムからの溶出液をフラクションコレクターで 1.0 mL づつ分取し、減圧下で遠心エバポレーターにて乾固させた。蒸留水 1 mL を各画分に加え攪拌した後、微生物学的定量法により各画分の B<sub>12</sub>含有量を測定した。

### 2.5. B<sub>12</sub>依存性酵素活性の測定

凍結貯蔵した細胞に 10%蔗糖を含む 10 mM リン酸緩衝液 (pH 7.0) 10 mL に懸濁後、超音波破碎機で細胞を破碎した。この細胞破碎液を 5000 g 10 分間の遠心分離にかけ、その上清液を回収し粗酵素液として用いた。上記の操作はすべて 4°Cで行った。

B<sub>12</sub>依存性酵素リボヌクレオチドレダクターゼ (EC 1.17.4.2)<sup>7)</sup>、メチオニンシンターゼ (EC 2.1.1.13)<sup>8)</sup>、メチルマロニル CoA ムターゼ (EC 5.4.99.2)<sup>9)</sup> 活性は各引用文献に従い測定した。

## 3. 研究結果と考察

### 3.1. *P. carterae* の生育に及ぼす B<sub>12</sub>の影響

一般的に *P. carterae* は B<sub>12</sub>を生育必須因子として要求することが知られているが、これまで我々の研究で使用した *P. carterae* は B<sub>12</sub>に対してレスポンスが低いようであったので今回 B<sub>12</sub>を要求するかどうかを詳細に検討するため B<sub>12</sub>除去人工海水を使用しできるだけ細胞内 B<sub>12</sub>含有量を減少させた *P. carterae* 細胞を用いて検討した。その結果、B<sub>12</sub>無添加の培地では *P. carterae* の生育が B<sub>12</sub>添加細胞 (10 µg/L) に比べ顕著に減少した (Fig. 1)。また、生育 9 日目の定常期における B<sub>12</sub>添加 (2 および 10 µg/L) *P. carterae* の細胞数は B<sub>12</sub>無添加細胞の約 3 倍であった。この結果からこれまで我々の研究で使用した *P. carterae*

も  $B_{12}$  を生育必須因子として要求することが明らかとなった。

### 3.2. *P. carterae* の細胞内 $B_{12}$ 含有量に及ぼす $B_{12}$ の影響

各種培養条件下で 9 日間生育させた *P. carterae* 細胞から  $B_{12}$  を抽出し、微生物学的定量法で  $B_{12}$  含有量を測定した。その結果、培地中に  $B_{12}$  を 2 および 10  $\mu\text{g/L}$  添加することにより細胞内  $B_{12}$  含有量は有意に増加した (Fig.2)。 $B_{12}$  添加 (2 および 10  $\mu\text{g/L}$ ) *P. carterae* の細胞内  $B_{12}$  含有量は  $B_{12}$  無添加細胞の約 3 倍量となり、上述の *P. carterae* の生育に及ぼす  $B_{12}$  の影響の結果とよく一致していた。

### 3.3. *P. carterae* に含まれる補酵素型 $B_{12}$ の分析

$B_{12}$  添加 (2  $\mu\text{g/L}$ ) *P. carterae* の細胞内に蓄積された  $B_{12}$  が補酵素型  $B_{12}$  に変換されているかどうかを検討するために、C18 逆相 HPLC を用いて補酵素型  $B_{12}$  の分離・定量を行った。その結果、OH- $B_{12}$  (20.1%), CN- $B_{12}$  (7.8%), Ado $B_{12}$  (26.0%), Me $B_{12}$  (46.1%) となり、培地中に添加された  $B_{12}$  の約 72% が細胞内に取込まれた後、補酵素型  $B_{12}$  に変換されていた。これらの結果は、*P. carterae* の細胞内には補酵素型  $B_{12}$  の合成系が存在しており、 $B_{12}$  は生体内で補酵素として機能していることを示唆している。

### 3.4. $B_{12}$ 依存性酵素活性

*P. carterae* における  $B_{12}$  の生理機能を検討するため、広く生物界に分布する 3 種の  $B_{12}$  依存性酵素活性を測定した。その結果、Ado $B_{12}$  依存性酵素としてリボヌクレオチドレダクターゼ活性は検出されなかつたが、メチルマロニル CoA ムターゼ活性 ( $2.6 \pm 0.4$  nmol/min/mg protein) が検出された。また、Me $B_{12}$  依存性酵素としてメチオニンシンターゼ活性 ( $85.1 \pm 38.9$  pmol/min/mg protein) も検出された。この結果はから *P. carterae* の細胞内に存在する Ado $B_{12}$  と Me $B_{12}$  はそれぞれメチルマロニル CoA ムターゼとメチオニンシンターゼの補酵素として機能していることを示唆している。

### 3.5. $B_{12}$ 結合タンパク質

*P. carterae* 細胞に取込まれた  $B_{12}$  が遊離で存在するのか、タンパク質と結合して存在するのかを検討するために Superdex 200 による *P. carterae* 細胞抽出液のゲルろ過を行った。その結果、*P. carterae* の細胞内に取込まれた  $B_{12}$  の約 60% が遊離で存在しており、約 40% が分子量約 150,000 の高分子画分に存在していた (Fig.3)。メチルマロニル CoA ムターゼ活性は、分子量約 150,000 の画分にのみ検出され、哺乳動物の酵素<sup>10)</sup> と同一の分子量を有することが明らかとなった。この結果は、本酵素が *P. carterae* の細胞内において  $B_{12}$  結合タンパク質の 1 つであることを示している。

また、メチオニンシンターゼ活性はどの画分からも検出することはできなかつたが、本酵素は非常に不安定であるためゲルろ過中に失活した可能性が考えられる。哺乳動物の本酵素は分子量約 150,000 の単一ポリペプチドからなることが報告されており<sup>11)</sup>、*P.*

*carterae* の細胞内 B<sub>12</sub> 結合タンパク質の分子量ともよく一致しており、今後詳細な検討が必要である。

#### 4. 今後の課題

海洋微細藻類である円石藻の *P. carterae*において B<sub>12</sub>酵素が検出されたのは今回が最初であり、今後各酵素を精製し詳細な酵素化学的性質を解明する必要がある。また、生物進化の観点から *P. carterae* 細胞から各酵素遺伝子クローン化し、他の生物と比較生化学的・分子生物学的に詳細な検討を行う必要がある。

#### 5. 引用文献

- 1) Takano, H., Jeon, J., Burgess, J. G., Manabe, E., Izumi, Y., Okazaki, M., and Matsunage, T., Continuous production of extracellular ultrafine calcite particles by the marine coccolithophorid alga *Pleurochrysis carterae*. *Appl. Microbiol. Biotechnol.*, **40**, 946-950 (1994).
- 2) Takenaka, H., Yamaguchi, Y., Teramoto, S., Tanaka, N., Hori, M., Seki, H., and Hiwatari, T., Evaluation of the mutagenic properties of the coccolithophore *Pleurochrysis carterae* (Haptophyceae) as a potential human food supplement. *J. Appl. Phycol.*, **8**, 1-3 (1996).
- 3) Miyamoto, E., Watanabe, F., Ebara, S., Takenaka, S., Takenaka, H., Yamaguchi, Y., Tanaka, N., Inui, H., and Nakano, Y., Characterization of a vitamin B<sub>12</sub> compound from unicellular coccolithophorid alga (*Pleurochrysis carterae*). *J. Agric. Food Chem.*, **49**, 3486-3489 (2001).
- 4) Provasoli, L. and Pintner, I. J., Ecological implications of in vitro nutritional requirements of algal flagellates. *Ann. N. Y. Acad. Sci.*, **56**, 839-851 (1953).
- 5) Watanabe, F., Takenaka, S., Abe, K., Tamura, Y., and Nakano, Y., Comparison of a microbiological assay and a fully automated chemiluminescent system for the determination of vitamin B<sub>12</sub> in food. *J. Agric. Food Chem.*, **46**, 1433-1436 (1998).
- 6) Watanabe, F., Takenaka, S., Katsura, H., Miyamoto, E., Abe, K., Tamura, Y., Nakatsuka, T., and Nakano, Y., Characterization of vitamin B<sub>12</sub> in the edible purple laver, *Porphyra yezoensis*. *Biosci. Biotechnol. Biochem.*, **1075**, 36-41(1991).
- 7) Suto, R. K., Whalen, M. A., and Finke, R., Adenosylcobalamin-dependent ribonucleoside triphosphate reductase from *Lactobacillus leichmannii*. Rapid, improved purification involving dGTP-based affinity chromatography plus biophysical characterization studies demonstrating enhanced, "crystallographic level" purity. *Prep. Biochem. Biotechnol.*, **29**, 273-309 (1999).
- 8) Drummond, J. T., Jarrett, J., Gonzalez, J., Huang, S., and Matthews, R., Characterization of nonradioactive assays for cobalamin-dependent and cobalamin-independent methionine synthase enzymes. *Anal. Biochem.*, **228**, 323-329 (1995).
- 9) Gaire, D., Sponne, I., Drolesch, S., Charlier, A., Nicolas, J. P., and Lambert, D., Comparison of two methods for the measurement of rat liver methylmalonyl-coenzyme A mutase activity: HPLC and radioisotopic assays. *J. Nutr. Biochem.*, **10**, 56-62 (1999).

- 10) Fenton, W. A., Hack, A. M., Willard, H. F., Gertler, A., and Rosenberg, L. E., Purification and properties of methylmalonyl coenzyme A mutase from human liver. *Arch. Biochem. Biophys.*, **214**, 815-823 (1982).
- 11) Chen, Z., Crippen, K., Gulati, S., and Banerjee, R., Purification and kinetic mechanism of a mammalian methionine synthase from pig liver. *J. Biol. Chem.*, **269**, 27193-27197 (1994).

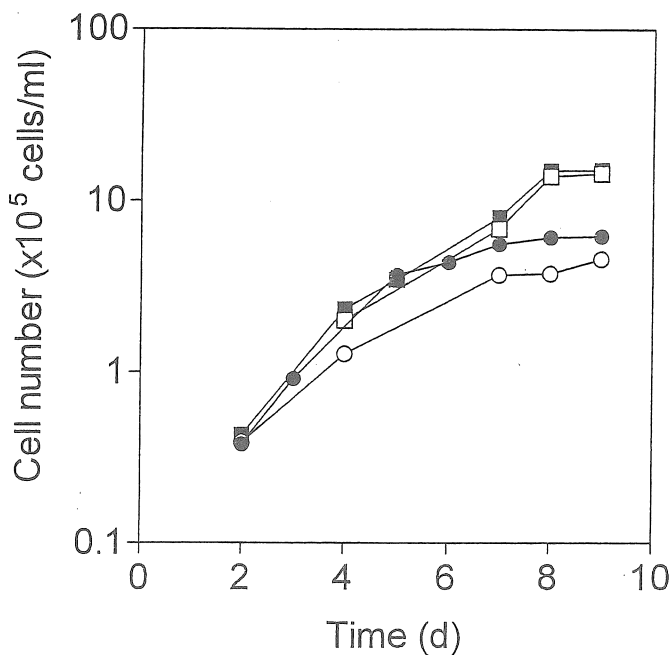
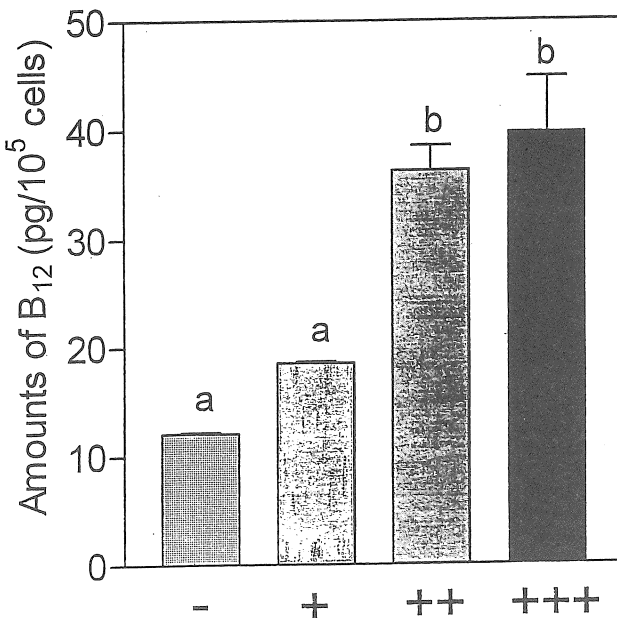


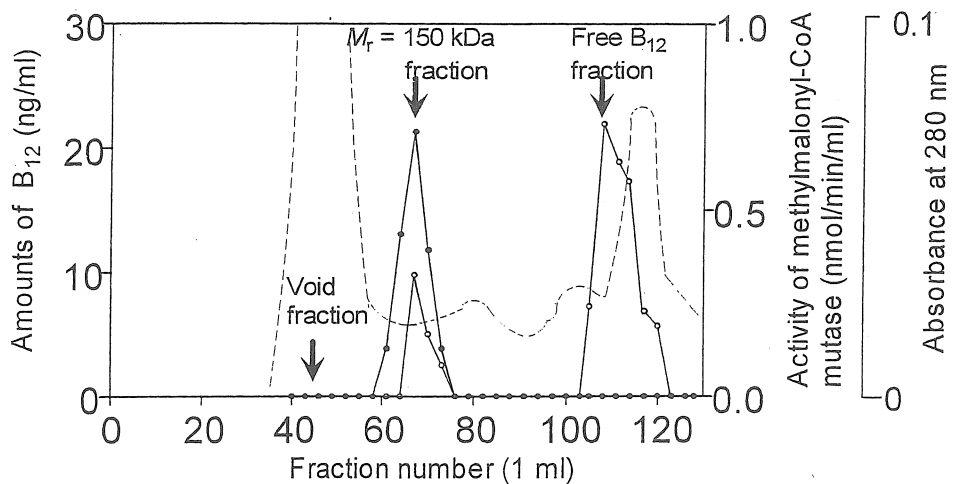
Fig. 1 Effects of B<sub>12</sub> on Growth of *P. carterae*.

CN-B<sub>12</sub> at 0 (○), 0.2 (●), 2 (□), and 10 (■)  $\mu\text{g}/\text{L}$  medium were added to the Eppley medium prepared with the B<sub>12</sub>-free synthetic sea water. At the indicated times, 2.0 mL of the cell culture was sampled and used to count cell number in a hemocytometer. Detailed procedures are described in the text. The data are the typical growth pattern of *P. carterae* grown in the presence or absence of B<sub>12</sub> from three independent experiments.



**Fig. 2** B<sub>12</sub> Concentration of *P. carterae*.

The amounts of B<sub>12</sub> in the 9 d-*P. carterae* cells grown in the B<sub>12</sub>-deficient (-) and -supplemented medium (+, 0.2; ++, 2; and +++, 10 µg/liter medium). Extraction and assay of total B<sub>12</sub> from these *P. carterae* cells are described in the text. The values represent means ± SEM ( $n = 3$ ). The mean values within columns with different letters are significantly different ( $P < 0.05$ ).



**Fig. 3** Elution Profile of B<sub>12</sub> Taken up by the 9 d-*P. carterae* during Superdex 200 Gel Filtration.

The  $M_r$  of the B<sub>12</sub>-binding macromolecule was calibrated with blue dextran (average  $M_r$  2000,000), apoferritin from horse spleen ( $M_r$  480,000), alcohol dehydrogenase from yeast ( $M_r$  150,000), albumin from bovine serum ( $M_r$  66,000), and cytochrome *c* from horse heart ( $M_r$  12,400). Blue dextran and these proteins were monitored by measuring absorbance at 280 nm. A portion (1.0 mL) of the crude homogenate of the B<sub>12</sub> (2 µg/liter)-supplemented cells was analyzed by the HiLoad 16/60 Superdex 200 pg gel filtration column. The fractions (1.0 mL) were collected. Each fraction (0.1 mL) was added to 0.9 mL of 0.1 M acetate buffer, pH 4.8, containing 0.2 g of KCN/L, boiled for 15 min, and centrifuged at 10,000 × g for 10 min. The supernatant fraction was used for the B<sub>12</sub> assay. The remaining fractions (0.9 mL) were used for assay of the B<sub>12</sub>-dependent enzymes. A portion (1.0 mL) of the crude homogenate of the B<sub>12</sub> (2 µg/liter)-supplemented cells was analyzed by the HiLoad 16/60 Superdex 200 pg gel filtration column. (○) B<sub>12</sub>, (●) methylmalonyl-CoA mutase activity, and (-----) absorbance at 280 nm. The data are the typical elution patterns of the B<sub>12</sub>-binding macromolecule and MCM activity from three independent experiments.

Study on Preparation of Nutrient-fortified *Pleurochrysis carterae*  
(Uptake and Physiological Function of Vitamin B<sub>12</sub> in *Pleurochrysis carterae*)

Fumio WATANABE (Department of Health Science, Kochi Women's University)

Emi MIYAMOTO (Department of Health Science, Kochi Women's University)

### Summary

The photosynthetic coccolithophoid alga, *Pleurochrysis (Hymenomonas) carterae*, could take up and accumulate exogenous vitamin B<sub>12</sub>, most of which was converted into the coenzyme forms of vitamin B<sub>12</sub>. Two vitamin B<sub>12</sub>-dependent enzyme activities (methylmalonyl-CoA mutase,  $2.6 \pm 0.4$  nmol/min/mg protein and methionine synthase,  $85.1 \pm 38.9$  pmol/min/mg protein) could be found in a cell homogenate of the vitamin B<sub>12</sub>-supplemented alga. Most of the methylmalonyl-CoA mutase activity and 19.2% of the vitamin B<sub>12</sub> accumulated by the algal cells were recovered in the macromolecular fractions with  $M_r$  of 150 kDa, although the remaining vitamin B<sub>12</sub> was found only in free vitamin B<sub>12</sub> fractions.